## МЕТАЛЛУРГИЯ И МАТЕРИАЛОВЕДЕНИЕ

УДК 621.791.92:669.018.25

## А.И. Гусев, Н.А. Козырев, Н.В. Кибко, Р.Е. Крюков, И.В. Осетковский

Сибирский государственный индустриальный университет

## ИЗУЧЕНИЕ СТРУКТУРЫ И СВОЙСТВ МЕТАЛЛА, НАПЛАВЛЕННОГО ПОРОШКОВОЙ ПРОВОЛОКОЙ СИСТЕМЫ Fe-C-Si-Mn-Mo-Ni-V-Co ПРИ ВВЕДЕНИИ ВОЛЬФРАМА И ХРОМА

Механизмы машин горного оборудования, испытывающие абразивное и ударное изнашивание при эксплуатации, преждевременно выходят из строя. Износ рабочих поверхностей вызывает необходимость в проведении их восстановления. Поэтому разработка материалов, значительно повышающих износостойкость таких деталей, и использование технологии их восстановления, является важной задачей. Наиболее перспективным является использование наплавки порошковой проволокой на изнашивающиеся поверхности деталей. Для этих целей в нашей стране и за рубежом ведется разработка и изготовление специальных наплавочных порошковых проволок [1 - 6]. Благодаря оптимально подобранному способу легирования наплавленные покрытия обладают высокими значениями твердости, абразивной и ударно-абразивной износостойкости. Широкое распространение для наплавки абразивно-изнашивающихся изделий получили наплавочные проволоки систем Fe-C-Si-Mn-Cr-Ni-Мо типа A и B по классификации МИС [7]. В настоящее время в нашей стране широко используются порошковые проволоки такой системы фирмы DRATEC (Германия) марки DT-SG 600 F и порошковые проволоки фирмы ESAB марок OK Tubrodur 15.52, OK Tubrodur 58 O/G M.

Настоящая работа продолжает начатые исследования по созданию новых составов порошковых проволок, работающих в условиях абразивного износа в горнорудной промышленности [8 — 10], в частности, изучение влияния использования вольфрама и хрома при изготовлении опытных образцов проволоки системы Fe—C—Si—Mn—Mo—Ni—V—Cо на степень износа и твердость наплавленного слоя.

Проволоку изготавливали на лабораторной машине. Диаметр изготовленной проволоки составил 5 мм, оболочка выполнена из стальной (марки Ст3) ленты. В качестве наполнителя использовали соответствующие порошкообразные материалы: порошок железа марки

ПЖВ1 по ГОСТ 9849–86, порошок ферросилиция марки ФС 75 по ГОСТ 1415–93, порошок углеродистого ферромарганца ФМн 78(A) по ГОСТ 4755–91, порошок никеля ПНК-1Л5 по ГОСТ 9722–97, порошок ферромолибдена марки ФМо60 по ГОСТ 4759–91, порошок феррованадия марки ФВ50У 0,6 по ГОСТ 27130–94, порошок кобальта ПК-1У по ГОСТ 9721–79. Также использовали порошок со следующим составом компонентов: 21-46,23 %  $Al_2O_3$ ; 18-27 % F; 8-15 %  $Na_2O$ ; 0,4-6,0 %  $K_2O$ ; 0,7-2,3 % CaO; 0,5-2,48 %  $Si_2O$ ; 2,1-3,27 %  $Fe_2O_3$ ; 12,5-30,2 %  $C_{06m}$ ; 0,07-0,9 % MnO; 0,06-0,9 % MgO; 0,09-0,19 % S; 0,1-0,18 % P.

Наплавку изготовленной проволокой проводили под флюсом АН-26С на пластины из стали марки Ст3 в шесть слоев (для исключения перемешивания наплавляемого металла с подложкой) при помощи сварочного трактора ASAW-1250 с режимом наплавки I = 450 A, U= 30 B, V = 10 см/мин. Далее пластины разрезались на соответствующие образцы для испытаний. Химический состав исследуемых наплавленных образцов определяли по ГОСТ 10543-98 рентгенофлуоресцентным методом на спектрометре XRF-1800 и атомно-эмиссионным методом на спектрометре ДФС-71. Твердость изучаемых образцов измерялась с помощью МЕТ-ДУ. Металлографический твердомера анализ с целью определения степени влияния изменения химического состава на параметры микроструктуры проводили с помощью оптического микроскопа OLYMPUS GX-51 в светлом поле при диапазоне увеличений в 100 – 1000 крат после травления в спиртовом растворе азотной кислоты. Величину зерна определяли по ГОСТ 5639-82 при увеличении в 100 раз. Размер игл мартенсита определяли по ГОСТ 8233-56 при увеличении в 1000 раз. Результаты перечисленных выше исследований приведены в табл. 1. Исследование образцов, вырезанных в продольном направлении наплавленного слоя, на наличие неметаллических включений

Таблица 1 Химический состав, содержание водорода и твердость наплавленных слоев

Массовая доля элементов % Твердость Номер [H], образцов  $c M^{3}/100 \Gamma$ образца C Si Cr Ni V Co W Cu Ti S Р HRC Mn Mo В Al 0,77 0,01 1 Г9 0,19 4,17 0,34 0,38 0,01 0,02 0,05 0,002 0,07 0,02 0,054 0,024 2,4 0,61 44,5 0,19 0,01 2 Γ10 0,63 0,65 4,06 0.30 0,38 0,01 0,03 0,06 0,001 0.08 0,03 0,056 0,019 1,7 43 3 Γ11 0,20 0,59 0,61 4,12 0,30 0,38 0,01 0,02 0,12 0,001 0,02 0,06 0,04 0,049 0.019 1,9 46 4 Γ12 0,20 0,64 0,6 4,03 0,30 0,01 0,03 0,20 0,002 0,01 0,08 0,03 0,058 0,021 2,0 30 0.39 5 Γ13 0,20 0,59 0,01 0,30 0,33 0,01 0,05 7,74 0,01 0,02 0,072 0,017 1,8 0,56 0,01 0,1 22 6 Γ14 0,20 0,55 0,34 0,02 0,09 0,02 0,048 0,014 0,49 0,01 0,26 0,01 0,01 0,07 7,42 2,0 25 0,20 0,34 7 Γ15 0,58 0,52 0,01 0,28 0,01 0,01 0,07 7,55 0,05 0,09 0,03 0,038 0,014 1,7 21 8 Γ16 0,21 0,55 0,52 0,01 0,27 0,35 0,01 0,02 0,06 7,65 0,05 0,08 0,02 0,036 0,017 1,9 25

S

Xaı	эяктепист	ики немета	ппических	включений	ис	TNVKTVNL	т исспел	vемых об	กลรบดห
<b>∡xa</b>	Jakicphei	ики псиста	JIJIMACCKMA	БКЛЮЧСПИИ	n c	Thariahe	и исслед	y CMIDIA UU	разцов

Номер	Загрязненность неметалличес включениями, балл	Величина зерна		
образца	силикаты недеформирующиеся	оксиды точечные	аустенита, номер	
1Г9	16, 2a	1a	7, 6	
2Γ10	26, 16, 2a, 3a	1a, 2a	6, 7	
3Γ11	16, 26,2a, 3a	1 a, 2a	6, 7	
4Γ12	1б, 2б, 3а	1 a, 2a	7, 6	
5Γ13	16, 26, 2, 5a	1a	5, 6	
6Γ14	16, 26, 46	1a	6	
7Г15	16, 26, 36	1a	5	
8Г16	26, 46	1a, 2a	6	

осуществляли в соответствии с ГОСТ 1778–70 при увеличении в 100 крат, результаты приведены в табл. 2.

Металлографический анализ показал, что микроструктура образцов с использованием хрома при их изготовлении (образцы №№ 1Г9  $-4\Gamma 12$ ) (рис. 1,  $a - \epsilon$ ) представляет собой мартенсит в первичных зернах аустенита, по границам которых находятся незамкнутые тонкие прослойки, предположительно состоящие из б-феррита. По телу и границам зерен распределены точечные дисперсные включения. В структуре образцов №№ 1Г9, 3Г11 и 4Г12 наблюдается крупноигольчатый мартенсит (балл 7) с размером игл 3 - 14, 8 - 12 и 3 - 11мкм соответственно. В структуре образца № 2Г10 присутствует мелкоигольчатый и среднеигольчатый мартенсит (балл 4, 5). Размер игл мартенсита в этом случае составляет 3 – 6 мкм.

Величина бывшего зерна аустенита в структуре образцов №№  $1\Gamma9-4\Gamma12$  по шкале зернистости соответствует № 7, 6 и № 6, 7 (табл. 2).

При использовании вольфрама (образцы №№  $5\Gamma13 - 8\Gamma16$ ) наплавленный слой имеет феррито-перлитную структуру. По телу зерен и по ферриту распределены точечные включения (рис. 1,  $\partial - 3$ ). Величина бывшего зерна аустенита соответствует № 6 и № 5, 6 (табл. 2).

В результате оценки загрязненности наплавленного слоя неметаллическими включениями установлено присутствие оксидных неметаллических включений, в частности силикатов недеформирующихся и оксидов точечных (табл. 2).

Установлено, что изменения микроструктуры при варьировании химического состава порошковой проволоки системы Fe – C – Si – Mn – Mo – Ni – V – Со оказывают влияние на свойства наплавленного металла. Так, твердость наплавленного металла с мартенситной структурой, полученной при введении хрома в шихту порошковой проволоки, составляет 30 – 46 HRC (табл. 1, рис. 2). Высокая твердость наплавленного слоя приводит к образованию трещин на поверхности слоя, что оказывает негативное влияние на работу деталей, работающих в условиях ударного износа, сопровождающегося вибрационным воздействием.

Значения твердости наплавленного слоя с феррито-перлитной структурой, обеспеченной использованием вольфрама, ниже (21 – 25 HRC) (табл. 1, рис. 3). Таким образом, наибольшее упрочнение наплавленного слоя наблюдается при мартенситной структуре, по сравнению с феррито-перлитной, что согласуется с литературными данными [11].

Важно отметить, что твердость наплавленного слоя увеличивается при уменьшении размера бывшего зерна аустенита. В результате использования хрома наплавленный металл имеет меньший размер бывшего зерна аустенита ( $\mathbb{N}_2$  7, 6 и  $\mathbb{N}_2$  6, 7) и более высокие значения твердости, чем при введении в состав шихты порошковой проволоки вольфрама (размер первичного зерна аустенита  $\mathbb{N}_2$  6 и  $\mathbb{N}_2$  5, 6).

**Выводы.** Введение в систему Fe - C - Si - Mn - Mo - Ni - V - Co хрома и вольфрама раздельно друг от друга оказывает влияние на

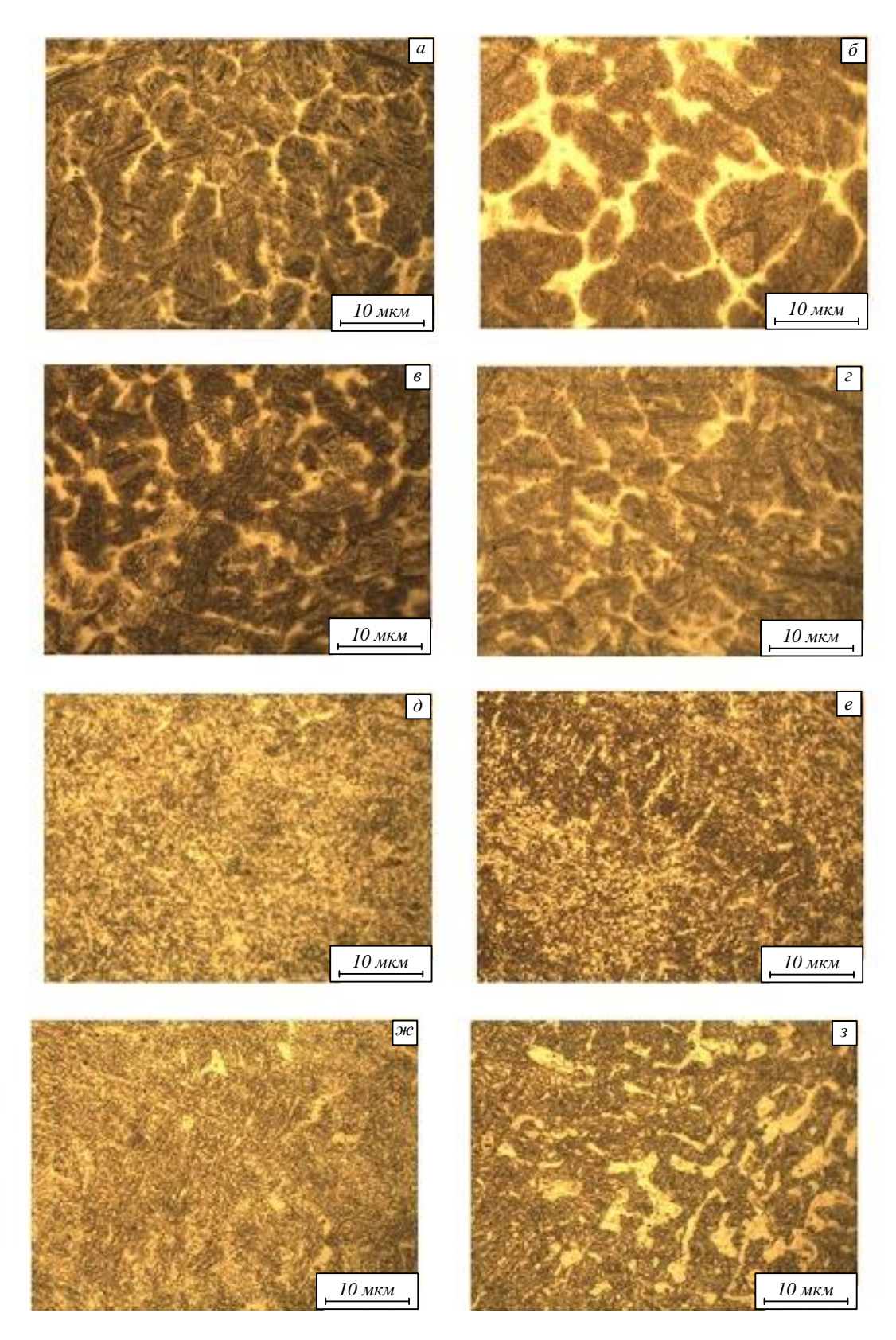


Рис. 1. Микроструктура исследуемых образцов: a - № 1Г9;  $\delta - № 2Г10$ ; e - № 3Г11; e - № 4Г12; e - № 5Г13; e - № 6Г14; e - № 7Г15; e - № 8Г16

микроструктуру наплавленного слоя. Использование хрома обеспечивает получение мартенситной структуры наплавленного металла с тонкими прослойками  $\delta$ -феррита, расположенными по границам первичных зерен аустени-

та. Выведение из состава шихты порошковой проволоки хрома и введение вольфрама способствует формированию феррито-перлитной структуры наплавленного слоя карбидными включениями вольфрама. Использование хро-

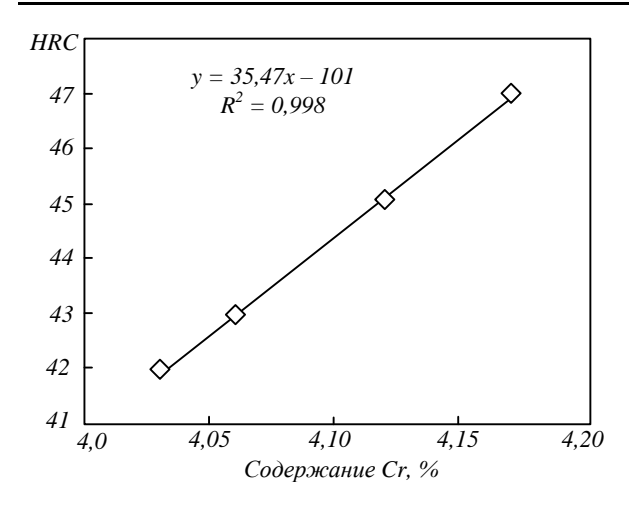


Рис. 2. Твердость образцов №№ 1Г9 — 4Г12

ма обеспечивает уменьшение бывшего зерна аустенита. Размер первичного зерна аустенита при использовании хрома соответствует № 7, 6 и № 6, 7, а при выведении хрома и введении вольфрама – № 6 и № 5, 6. Введение хрома в состав шихты порошковой проволоки обеспечивает получение более высоких значений твердости (30 – 46 HRC) наплавленного слоя, чем без хрома и при использовании вольфрама (21 - 25 HRC). Повышение твердости в результате введения хрома обусловлено формированием мартенситной структуры с меньшей величиной бывшего зерна аустенита (№ 7, 6 и № 6, 7) по сравнению со структурой феррита и перлита с величиной первичного зерна аустенита, соответствующей № 6 и № 5, 6.

## БИБЛИОГРАФИЧЕСКИЙ СПИСОК

- 1. Kirchgaßner M., Badisch E., Franek F. Behaviour of iron-based hardfacing alloys under abrasion and impact // Wear Journal. 2008. Vol. 265. P. 772 779.
- **2.** Azzoni M. Directions and developments in the types of hard phases to be applied in abrase deposits against abrasion // Weld. International. 2009. Vol. 23. P. 706 716.
- **3.** Klimpel A., Dobrzanski L.A., Janicki D., Lisiecki A. Abrasion resistance of GMA metal cored wires surfaced deposits // Materials Processing Technology. 2005. Vol. 164 165. P. 1056 1061.
- **4.** Wang Q., Li X. Effects of Nb, V, and W on microstructure and abrasion resistance of Fe–Cr–C hardfacing alloys // Weld. International. 2010. Vol. 89. P. 133 139.
- **5.** Metlitskii V.A. Flux-cored wires for arc welding and surfacing of cast iron // Weld. International. 2008. Vol. 22. P. 796 800.
- **6.** Kejžar R., Grum J. Hardfacing of Wear-Resistant Deposits by MAG Welding with

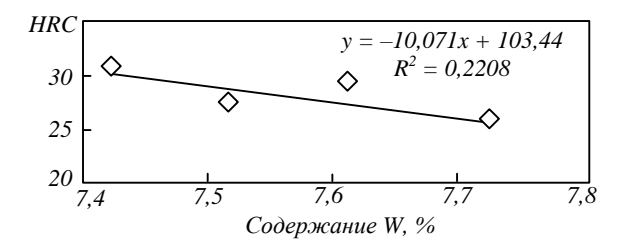


Рис. 3. Твердость образцов №№  $5\Gamma13 - 8\Gamma16$ 

- a Flux-Cored Wire Having Graphite in Its Filling // Welding International. 2005. Vol. 20. P. 961 976.
- 7. Технология электрической сварки металлов и сплавов плавлением / Под ред. Б.Е. Патона. М.: Металлургия, 1974. 768 с.
- 8. Гусев А.И., Осетковский И.В. Изучение свойств металла, наплавленного порошковой проволокой системы С Мп Si Cr V Мо Со // Прогрессивные технологии и экономика в машиностроении: Сб. тр. VII Всероссийской научно-практической конференции для студентов и учащейся молодежи. В 2-х томах. Т. 1. Томск: изд. Томского политехнического университета, 2016. С. 91 94.
- Gusev A.I., Kibko N.V., Kozyrev N.A., Popova M.V., Osetkovsky I.V. A study on the properties of the deposited metal by flux cored wires 40GMFR and 40H3G2MF // IOP Conf. Series: Materials Science and Engineering 150. 2016. P. 1 – 9.
- 10. Гусев А.И., Кибко Н.В., Попова М.В., Козырев Н.А., Осетковский И.В. Структура и свойства наплавленных слоев, полученных с применением порошковых проволок 40ГМФР и 40Х3Г2МФ // Вестник горнометаллургической секции Российской академии естественных наук. Отделение металлургии. 2016. Вып. 36. С. 174 181.
- **11.** Лахтин Ю.М., Леонтьева В.П. Материаловедение: Учебник. 3-е изд., перераб. и доп. М.: Альянс, 2013 528 с.
- 12. Шагарова О.Н. Характеристика структуры металлической матрицы и износостойкость поверхностей при микроударном воздействии // Горный информационно-аналитический бюллетень (научнотехнический журнал) Горная книга. 2006. № 4. С. 230 235.

© 2017 г. А.И. Гусев, Н.А. Козырев, Н.В. Кибко, Р.Е. Крюков, И.В. Осетковский Поступила 20 марта 2017 г.